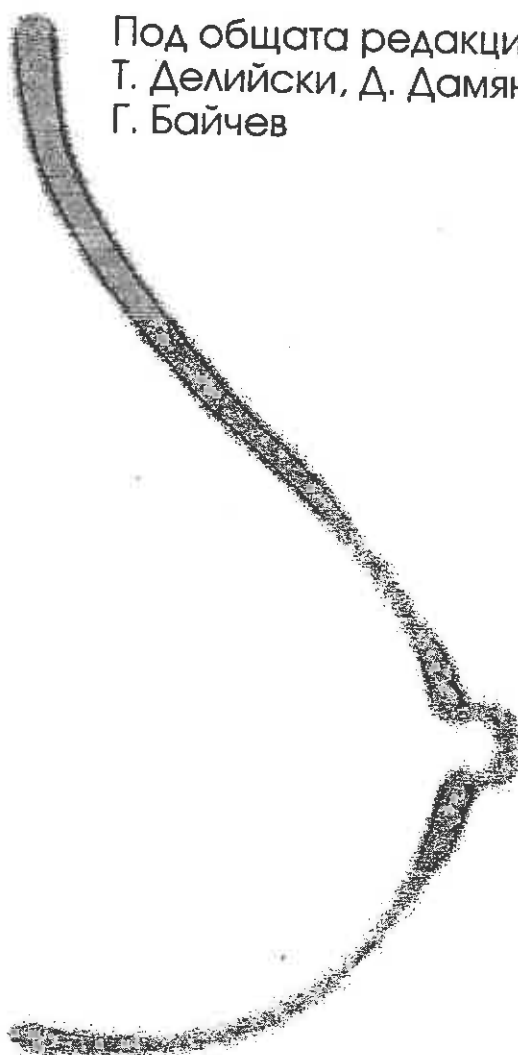


РАК НА МЛЕЧНАТА ЖЛЕЗА - СЪВРЕМЕНО ХИРУРГИЧНО ЛЕЧЕНИЕ

Под общата редакция на:
Т. Делийски, Д. Дамянов
Г. Байчев



Плевен
2005

РОЛЯТА НА ЛИМФОСЦИНТИГРАФИЯТА ЗА ЛОКАЛИЗИРАНЕ НА СЕНТИНЕЛНИ ЛИМФНИ ВЪЗЛИ ПРИ РАК НА МЛЕЧНАТА ЖЛЕЗА.

С. Сергиева¹, Е. Александрова², Г. Байчев³, Г. Ганчев²,
В. Ботев¹, М. Луканова³

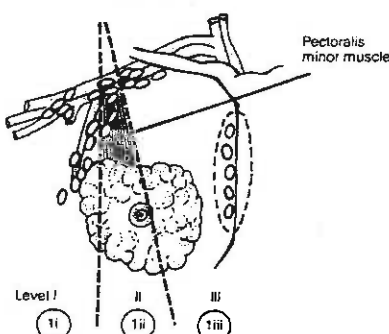
¹ОДОЗС София-град,

²НСБАЛО-София,

³УМБАЛ-Плевен

Въведение

Основното клинично приложение на мамарната лимфосцинтиграфия е установяване точната локализация на сентинелните лимфни възли (Sentinel Lymph Nodes-SLNs), дрениращи първичния тумор (фиг.1), и определяне състоянието на локалния лимфен ток (1, 2). Резултатите от тези изследвания са от съществено значение за провеждането на интраоперативна биопсия и своевременно диагностициране на лимфогенните микрометастази при болни с ранен рак на млечната жлеза, което предопределя необходимостта от провеждането на радикална лимфна дисекция и цялостното терапевтично поведение при това заболяване (3, 4, 5).



Фиг. 1. Аксиларен лимфен басейн, дрениращ млечната жлеза и интраператерални паракстernalни лимфни възли, според TNM-класификацията (TNM Classification Atlas 1997, UICC).

Съществуват два основни подхода за прилагането на 99m Tc-маркирани лимфотропни радиофармацевтици: интраоперативно, с помощта на g-сонда и гранскутанно чрез провеждане на мамарна лимфосцинтиграфия след перитуморно субкутанно инжектиране на радиоколоид (6,7,8). Когато двата метода се използват поотделно, те се комбинират с оцветители, които се инжектират предоперативно в областта на първичния карцином на млечната

жлеза. По този начин чувствителността на детекция на SLNs се повишава значително, като се отчита съвпадение между визуализираните сцинтиграфски и оцветените в синьо лимфни възли (2).

По литературни данни последователното прилагане на предоперативното и интраоперативно радиодетектиране на SLNs не налага използването на оцветители (5,9). Огнищата на хиперфиксация, изобразени сцинтиграфски, могат да бъдат обозначени точно върху кожната повърхност преди извършване на оперативната интервенция и последващото регистриране на лимфните възли чрез g-сонда, при което се постига висока чувствителност на идентифициране на SLNs при 97% от случаите (5).

Цел на настоящето проучване е установяване ролята на лимфосцинтиграфския метод за изобразяване на SLNs при болни с карцином на млечната жлеза в ранен стадий.

Материал и методи

Бяха изследвани 29 жени с доказан рак на млечната жлеза /T1-T3a стадий според TNM класификацията/, на възраст от 31 до 74г.

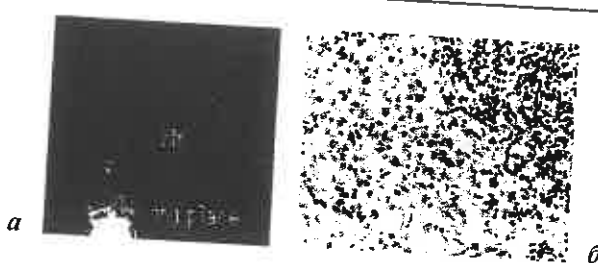
Перитуморно беше аплициран $99m\text{Tc}$ -sulphur colloid (Solco Lymphoscint, Sorin), със средна големина на партикулите 55nm, в обем 0.2-0.3 ml на инжекционно място, с индикаторна активност 74 MBq. Планарните сцинтиграми бяха осъществени двуетапно – до 20-та минута и на 180-та минута след с.с. инжектиране на радиофармацевтичния прерапарат /РФП/ на гама камера.

Предоперативно беше аплицирано лимфотропно синьо багрило – 2ml Patent Blue V (Byk Gulden, Germany) около тумора.

Първичните тумори на млечната жеза, както и респективно отстранените аксилярни /I-III нива/ и параастернални лимфни възли бяха изследвани хистологично чрез стандартното оцветяване с хематоксилин-еозин. При 21 болни беше проведена имунохистохимия с Cytokeratin 7 (Dako, Glostrum, Denmark). Микроскопският анализ на имунохистохимичното оцветяване беше направен съобразно 4-степенната скала за отчитане броя на оцветените туморни клетки: от (-) при негативен резултат до (++++) при оцветяване на 75% до 100% от клетките.

Резултати и обсъждане

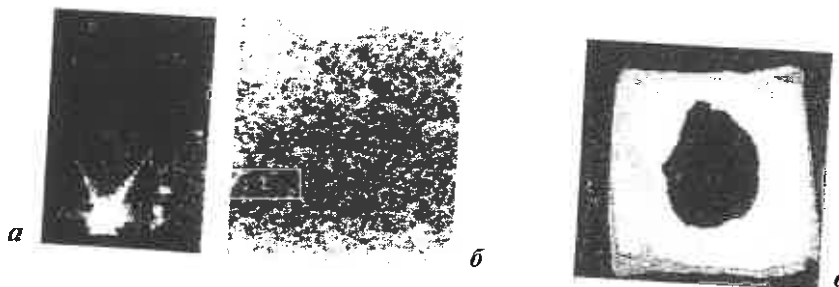
Сентинелните лимфни възли бяха визуализирани сцинтиграфски при 25 болни (86.2%). В областта на аксилярните лимфни възли от I ниво SLNs бяха локализирани при 21 случая (72%), от II ниво – при 4 (14%) случая, от III ниво – при 1 случай (1%), (фиг.2).



Фиг. 2а. Болна, 38г. с карцином на лявата млечната жлеза, локализиран в долн външен квадрант. Визуализира се мястото на инжектиране и 1 SLN в областта на аксилярните лимфни възли от I ниво.

2б. Метастатична инфильтрация на визуализирания SLN. Стандартно оцветяване с хематоксилин и гозин, увеличение x 200.

При 3 болни (10%) с първичен тумор, разположен във вътрешните квадранти и централния регион на млечната жлеза, бяха изобразени ипсолатералните паракстернални лимфни възли, които бяха определени като сентинелни (фиг. 3).



Фиг. 3а. Болна, 39г. с карцином на дясната млечна жлеза, локализиран в долн медиален квадрант. Визуализира се мястото на инжектиране и 3 паракстерналните лимфни възли в дясно. **3б.** Имунохистохимично изследване при същата болна на SLN след биопсия. Визуализират се единични метастатични туморни клетки, позитивни за Cytokeratin 7, увеличение x 200. **3в)** Биопсираният SLN, оцветен в синьо.

Данни за непоследователно или "skip" лимфогенно метастазиране бяха установени при 2 болни.

Бяха визуализирани от 1 до 4 SLNs. По литературни данни за SLN се определя този, който е с най-интензивно натрупване на РФП и обикновено се регистрира на сцинтиграмата като първият, дрениращ злокачествения тумор. При някои болни с по-масивни млечни жлези е трудно да се посочи точно кой е първият SLN, като в тези случаи се биопсират всички радиомаркирани лимфни възли (фиг.3). SLNs се визуализират най-често на ранното скениране, осъществено до 20-та минута след перитуморната апликация на радиоколоида.

Ha kpcoto ckehnpage, nprojekte 180 minytin ctej s.c. nnekrtipage, ce 3a hecethinehni, nprojekto no-jatehni, konto ognkohreho ce upnemar nprojekta pasmonokheneho ha minfihin pba, konto ognkohreho ce 10). Biopoto ckehnpage nma shahene upn ctyan ha mincavun cethinehni ha nppera cunthipama, karto ce 3a upnemar nprojekta n cektoraheneho ha minfihin shahene upn ctyan nprojekta n cektoraheneho ha minfihin shahene upn 11).

Upn 4 gosini SLNs he gaxa no6opaehn ctej nprojekta ha abjetivitara ntipaooneparho no cnpato ouberzare, moyeho ot nnekrtipahen minfotipohoro Garpho Patei Blue V. Upn 2 ot telen gosini gaxa ycraboreho farounataphra fykhun ha minfihne pba, n kompomentipahen chintipafkoto nsciejbare.

Xntojorinhyo gaxa jokazahn minfogrehn metacatan upn 9 gosini (fnt.2). Myhoxnctoxmnhyte nsciejbahna jokazaxa nirkometracan upn oue 3 ctyaz (fnt.3). Cypemeuhnte myopahrana a tazn hacoaka noka3bar, he nshombyaheto ha jnhochtihara tohochet (ot 8% do 41% a hkon ctyan) 3a orkpnrahre ha nirkometracan upn parha meqhtara kteza (12,13). Otrcktrybar jahnn 3a fajunnha no3ntirbu pe3ytrat. Tora do rojma cteha upnemar nprojekta jahnn tepejernihha no3ntirbu upn operejeneha ogeha ha xnpyprihara nhteprehuna nprojekta jahnn tepejernihha no3ntirbu upn operejeneha ogeha ha xnpyprihara nhteprehuna gacchi n napactephahntte minfihin pba.

B sarjonehne moke ja ce 0606um, he minfogchintipafkute nmyhoxnctoxmnhytne metojn ca cypemeuhn, ncooko aybctintejin texxhru 3a operejeneha ha jokazahn imfihet cracyc n pasmonokhene ha SLNs, koteo e or cpluectreho shahene 3a upnemar nprojekta ha meqhtara kteza a parha crajinh.

- KHURQINIC:**
1. Guilliano AE, Kriegsm DM, Guenther JM and Morton DL. Lymphatic mapping and sentinel lymphadenectomy for breast cancer. *Annals of Surgery*. 1994;220(3):391-401.
 2. Uren RF, Howman-Giles RB, Thomson JF et al. Mammary lymphoscintigraphy in breast cancer. *J Nucl Med* 1995;36:1775-1785.
 3. Costa A, Zwart JA. The future of breast cancer surgery. *OncoLOGY in Practice* 1998 (3):8-10.
 4. Guilliano AE, Jones RC, Brennan M, Staman R. Sentinel lymphadenectomy in breast cancer. *J Clin Oncol* 1997; 15(6): 2345-2350.
 5. Paganelli G. Sentinel node biopsy: role of nuclear medicine in conservative surgery of breast cancer. *Eur J Nucl Med* 1998, 25 (2): 99-100.
 6. Alex JC, Krage DN. Gamma-probe-guided localization of lymph nodes. *J Nucl Med* 1995;22:1238-1241.
 7. Lutini A. Breast cancer - surgical division for a global therapy. *European OncoLOGY* 1996; II(3): 53-57.
 8. Pijpers R, Collste GJ, Meijer S et al. The impact of dynamic lymphoscintigraphy and gamma probe guidance on sentinel node in melanoma. *Eur J Nucl Med* 1995, 22:116-111.
 9. Veronesi U, Paganelli G, Galimberti V et al. Sentinel-node biopsy to avoid axillary dissection in breast cancer with clinically negative lymph-nodes. *The Lancet* 1997;349: 1864-1867.
 10. Hoeftmeyer CA. Sentinel node localization with radionuclides in patients with breast carcinoma. *Regional Training Course on Nuclear Oncology*. Naples Italy 23-28 Aug 2001:106-111.
 11. Pijpers R, Meijer S, Hoekstra OS et al. Impact of lymphoscintigraphy on sentinel identification with technetium-99m-colloidal albumin in breast cancer. *J Nucl Med* 1997, 38: 366-368.
 12. Alberthi JJ, Lyman GH, Cox C et al. Lymphatic mapping and sentinel node biopsy in patients with breast cancer. *Am Med Ass* 1996, 276:1818-1822.
 13. Freedman S, Berlin F, Mouthesse H et al. Importance of tumor cells in axillary node sinus margin (clinodesine metastases) discovered by serial sectioning in operable breast carcinoma. *Acta Oncologica* 1998;27:483-487.